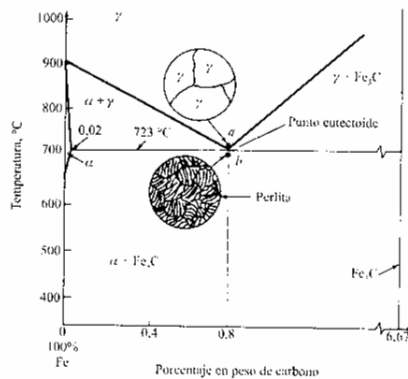
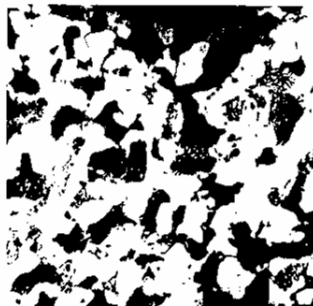


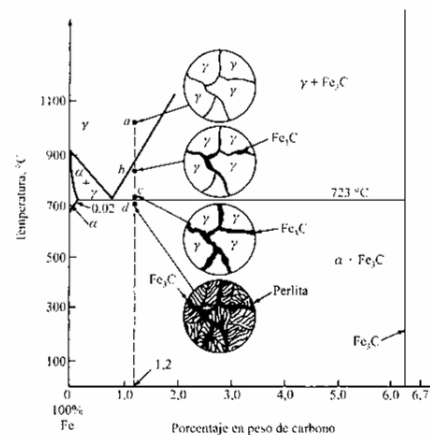
**Figura 10.9.** Transformación de un acero ordinario al carbono hipoeutectoide de 0.4 % C enfriado lentamente. (Según W. F. Smith, «Structure and Properties of Engineering Alloys», McGraw-Hill, 1981, pág. 10.)



**Figura 10.7.** Transformación de un acero eutectoide (0.8 % C) en condiciones de enfriamiento lento. (Según W. F. Smith, «Structure and Properties of Engineering Alloys», McGraw-Hill, 1981, pág. 8.)



**Figura 10.8.** Microestructura de un acero eutectoide enfriado lentamente. La microestructura consta de perlita eutectoide laminar. La fase oscura, atacada con ácido, es cementita y la fase blanca ferrita. (Ataque: picro; ampliación  $\times 650$ ). (United States Steel Corp., tal como aparece en «Metals Handbook», vol. 8, 8.ª ed., American Society for Metals, 1973, pág. 188.)



**Figura 10.11.** Transformación de un acero ordinario al carbono hipereutectoide de 1.2 % C enfriado lentamente. (Según W. F. Smith, «Structure and Properties of Engineering Alloys», McGraw-Hill, 1981, pág. 12.)



**Figura 10.12.** Microestructura de un acero hipereutectoide de 1.2 % C enfriado lentamente a partir de la región austenítica. En esta estructura, la cementita proeutectoide aparece como el constituyente blanco, que se ha formado en los límites de los granos austeníticos previos. La estructura remanente consta de perlita gruesa laminar. (Ataque: picro; ampliación  $\times 1,800$ ). (Cortesía de United States Steel Corp., Research Laboratory.)